

## التصميم الأمثل لعناصر التقوية في الديافرامات المسندة شبه المنحرفة في الجسور الصندوقية المعدنية المستندة على مسند وحيد عند مركز الصندوق

برهان الدين مهند كلش<sup>1\*</sup> غيث حلاق<sup>2</sup>

<sup>1\*</sup>. طالب ماجستير-مهندس في قسم الهندسة الإنشائية- كلية الهندسة المدنية- جامعة دمشق.

[Borhan94.kalash@damascusuniversity.edu.sy](mailto:Borhan94.kalash@damascusuniversity.edu.sy)

<sup>2</sup>. أستاذ، دكتور، مهندس - قسم الهندسة الإنشائية- كلية الهندسة المدنية- جامعة دمشق.

[GhayathHallak@Damascusuniversity.edu.sy](mailto:GhayathHallak@Damascusuniversity.edu.sy)

### الملخص:

تلعب عناصر التقوية في الديافرامات المسندة المتوضعة في الجسور الصندوقية المعدنية دوراً محورياً في تحديد سلوك ومقاومة الانهيار لهذه الديافرامات. لم تتوفر أية معلومات عن تأثير تغيير ترتيب وتوضع وأبعاد عناصر التقوية على سلوك وحمل الانهيار للديافرامات شبه المنحرفة. سيتم في هذه الورقة بناء نموذج عددي ثلاثي بعد باستخدام برنامج ABAQUS الذي يعتمد على طريقة العناصر المحدودة والقادر على محاكاة السلوك الحقيقي لهذه الديافرامات وبعد التأكد من صلاحية هذا النموذج بمقارنته مع تجربة مخبرية سابقة، سيتم إجراء دراسة بارومترية للوصول إلى التوضع والأبعاد والترتيب الأمثل لعناصر التقوية في الديافرامات شبه المنحرفة المستندة على مسند وحيد عند مركز الصندوق. المتغيرات في الدراسة البارومترية: نسبة (عرض/ارتفاع) الديافرام، ترتيب، وقياس عناصر التقوية. إن معيار المقارنة هو حمل الانهيار.

**الكلمات المفتاحية:** الجسور الصندوقية المعدنية، الديافرامات شبه المنحرفة، عناصر تقوية الديافرام.

تاريخ الایداع: 2022/12/20  
تاريخ القبول: 21/2/2023



حقوق النشر: جامعة دمشق -  
سوريا، يحتفظ المؤلفون بحقوق  
النشر بموجب CC BY-NC-SA

## Optimum Design of Stiffeners in Trapezoidal Load-Bearing Diaphragms in Steel-Box Girders Having a Central Support

**Burhan aldin Mohand Kalash<sup>\*1</sup>      Ghayath Hallak<sup>2</sup>**

<sup>\*1</sup>. Master student- Eng, Department of Structural Engineering- Damascus University.

[Borhan94.kalash@damascusuniversity.edu.sy](mailto:Borhan94.kalash@damascusuniversity.edu.sy)

<sup>2</sup>. Professor- Dr, Eng, Department of structural engineering- Damascus University. [GhayathHallak@Damascusuniversity.edu.sy](mailto:GhayathHallak@Damascusuniversity.edu.sy)

### Abstract:

Stiffeners of Load-Bearing Diaphragms in steel box girders play a crucial role in determining the behavior and ultimate strength of those diaphragms. There is no information on the effect of altering arrangements and sizes of the Stiffeners on the behavior and collapse load of trapezoidal Load-Bearing diaphragms. This paper shows the 3-D numerical model built using Abaqus finite element software, which is capable of stimulating the real behavior of those diaphragms. After establishing validity of the model by comparing it with a previous laboratory experiment, a parametric study is carried out to determine the optimal arrangement and sizes of stiffeners in trapezoidal Load-Bearing Diaphragms that are supported on a single bearing located at the central of the box. Variables in the parametric study are: Breadth/Depth ratio of the diaphragms, the size and arrangement of the stiffeners. The criterion for the comparison is collapse load.

**Keywords:** Steel Box Girder, Trapezoidal Load-Bearing Diaphragms, Diaphragm Stiffeners.

Received: 20/12/2022

Accepted: 21/2/2023

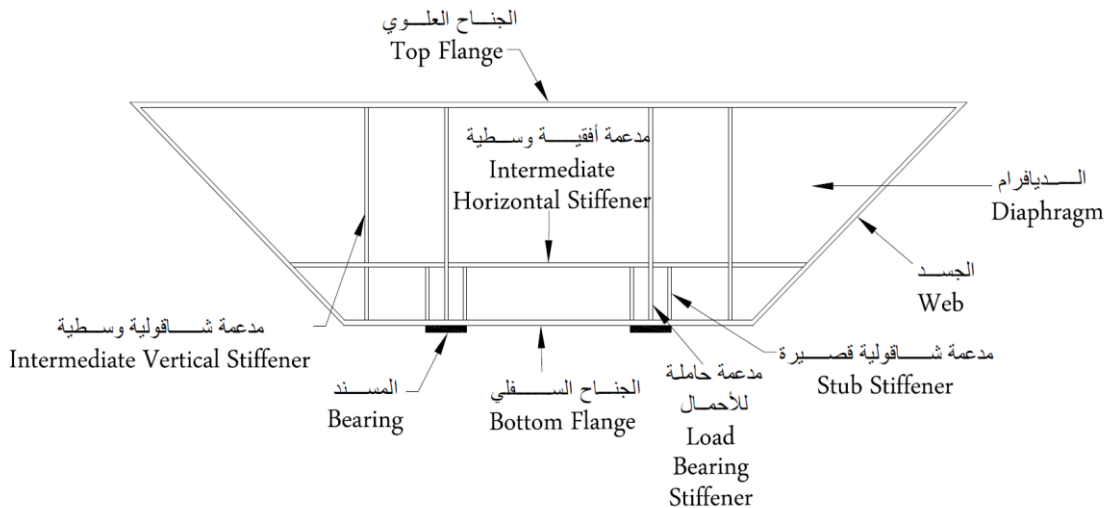


**Copyright:** Damascus University- Syria, The authors retain the copyright under a CC BY- NC-SA

**المقدمة:**

تعرض الديافرماط المسندة في الجسور الصندوقية المعدنية إلى تراكب إجهادات ناتج عن قوى مختلفة أهمها: قوى القص المنقوله من الجسد وعزم الانحناء ضمن المستوى والناتج عن تصرف الديافرام كجائز محمل ومستند على المساند بالإضافة إلى عزم الانحناء خارج المستوى والناتج عن لا مرکزية المساند [1]. يتم تدعيم الديافرماط المسندة في الجسور الصندوقية المعدنية بعناصر تقوية تشمل: مدعمات حاملة للأحمال (Load-Bearing Stiffener) وتتوسط فوق المسند وتمتد من الجناح السفلي فوق المسند تماماً حتى الجناح العلوي

وظيفتها توزيع الحمل إلى صفيحة الديافرام والمساهمة في استقراره ، مدعمات شاقولية قصيرة (Stub Stiffeners) وتتوسط فوق المسند، مهمتها تدعيم صفيحة الديافرام بالقرب من المسند بحيث يتم توزيع الإجهادات الضاغطة المركزة من خلال تلدن الصفيحة، مدعمات شاقولية وأفقية (Intermediate Vertical and Horizontal stiffener) مهمتها تقسيم صفيحة الديافرام لأجزاء ذات نسب نحالة مقبولة [2]. يوضح الشكل (1) أنواع هذه المدعمات.



**الشكل (1) أنواع مدعمات الديافرماط في الجسور الصندوقية المعدنية**

ازداد الاهتمام بدراسة سلوك الجسور الصندوقية عموماً والديافرماط المسندة خصوصاً على أعقاب انهيار جسر ميلفورد أثناء تشييده في إنجلترا عام 1970 كنتيجة لأنهيار إحدى الديافرماط المسندة، تبين أن الانهيار ليس فقط بسبب سوء الصنع (Imperfection) للديافرام ولكن بسبب عزم الإنحناء خارج المستوى الذي تعرض له الديافرام بسبب لا مرکزية المسند والتي بالأساس لم يكن مصمم عليها [3]. تم إجراء تجارب مخبرية على الديافرماط وذلك للحصول على معرفة أوسع عن سلوك هذه الديافرماط حيث أجرى كل

من Dean [4] اختبارات على 6 ديافرماط مسندة مستطيلة مدعمة بعضها مزود بفتحات في منتصف الديافرام وموزعة على جسرين. لاحظ الباحثون أن انماط الانهيار في الديافرماط المدعمة والمستندة على مسنددين كانت متشابهة وهي عبارة عن خطوط انكسار بدءاً من الزاوية السفلية للفتحة وبشكل مائل نحو الأسفل وآلية الانهيار هي ذاتها في الديافرماط غير المدعمة وهذا يؤكد الدور الرئيسي للصفيحة في تحديد آلية الانهيار.

التصميم الأمثل لعناصر التقوية في الديافرamas المنسدبة شبه المنحرفة في الجسور ..... كلش، حلاق

أما الباحثان [4,1]Irwin and Loe فقد أجريا اختبارات على الديافرamas المنسدبة شبه المنحرفة المدعمة. حصل الانهيار بسبب تحنيب المدعمات والصفحة معاً كما وجد الباحثان أن مدumannات الجسد والأجنحة العرضية القريبة من الديافرام تؤمن مساراً ثانوياً لانتقال حوالي 30% من الأحمال من الجسد إلى المسند مباشرةً.

تم اختبار أربع ديافراamas منسدبة طرفية مستطيلة غير مدعمة موزعة على جسرين صندوقين من قبل Dean [4]and Dowling. هذه الديافرamas لها نسبة عرض إلى سماكة تتراوح بين 44 و 136. انهارت الديافرamas ذات نسبة النحالة الأكبر بسبب تحنيب الصفحة وانتشار الدونة عند حمل يفوق ضعف حمل التحنيب الحرج المرن، بينما انهارت الديافرamas المكتنزة (squash) عند حمل قريب من حمل دهس المسند (stocky).

load أجرى الباحثان [2,5,6,7]Megson and Hallak دراسة بارومترية موسعة لتحديد التصميم الأمثل للديافرamas المستطيلة المنسدبة و ذلك من خلال بناء نموذج عددي يحاكي إحدى الديافرamas المستطيلة المختبرة في (Imperial College)، وقد وجدا أن استخدام مدعمة حاملة للأحمال عند الزاوية الداخلية

للمسند يعطي أكبر زيادة في حمل الانهيار وذلك في حالة توضع المسائد عند التقاء الجسد مع الجناح السفلي. وبالنسبة للديافرamas المستندة على مسند يبعد مسافة عن التقاء الجسد مع الجناح السفلي فإن أكبر زيادة في حمل الانهيار حصلت عند استخدام مدعمنتين حاملتين للأحمال على حافتي المسند كما لوحظ وجود زيادة مهمة في حمل الانهيار عند استخدام مدعمة حاملة للأحمال مع مدعمنتين شاقوليتيين قصيرتيين على حافة المسند. أما بالنسبة للديافرamas المستندة على مسند وحيد عند مركز الصندوق، حصلت أكبر زيادة في حمل الانهيار عند استخدام مدعمنتين حاملتين للأحمال على حافة المسند.

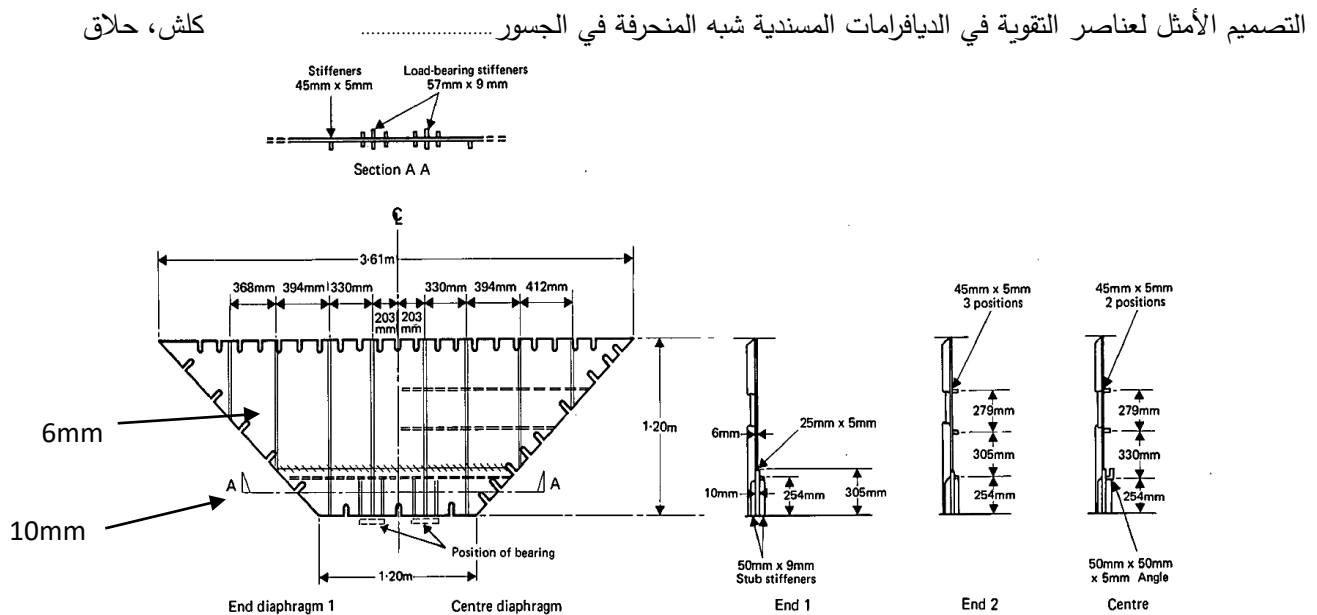
تم في هذه الورقة بناء نموذج عددي ثلاثي بعد باستخدام برنامج ABAQUS الذي يعتمد على طريقة العناصر المحدودة و قادر على محاكاة السلوك الحقيقي لهذه الديافرamas و بعد التأكد من صلاحية هذا النموذج بمقارنته مع تجربة مخبرية سابقة، سيتم إجراء دراسة بارومترية للوصول إلى التموضع والأبعاد والترتيب الأمثل لعناصر التقوية في الديافرamas شبه المنحرفة المستندة على مسند وحيد عند مركز الصندوق. إن معيار المقارنة هو حمل الانهيار.

## 1- الدراسة المرجعية المعتمدة [1]:

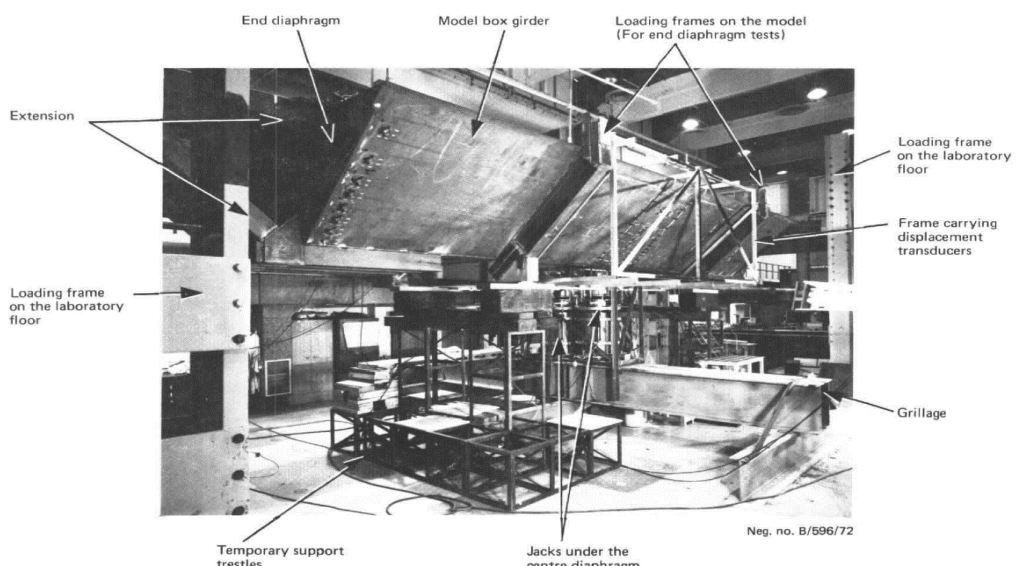
تم اعتماد التجربة المخبرية المجردة في مختبر أبحاث النقل والطرق في إنكلترا (TRRL) لجائز صندوفي شبه منحرف متوضع بداخله 3 ديافراamas: اثنان طرفيان و ثالث مركري و ذلك كمعيار لمقارنة صحة النتائج للنموذج الحسابي المقترن.

(3) النموذج المختبر. (2) أبعاد وتفاصيل الديافرamas المختبرة والشكل يوضح الشكل

كلش، حلاق



الشكل (2) أبعاد و تفاصيل الديافرامات المختبرة [1]



الشكل (3) النموذج المختبر في [1]TRRL

## 2-1 خصائص المواد:

النموذج بأكمله مصنوع من الفولاذ صنف 50B وفق الكود البريطاني BS4360 أما قيم إجهاد الخضوع الوسطية لكل مكون من مكونات الصندوق فهي موضحة في الشكل (4)

Mean static yield stresses for the model components

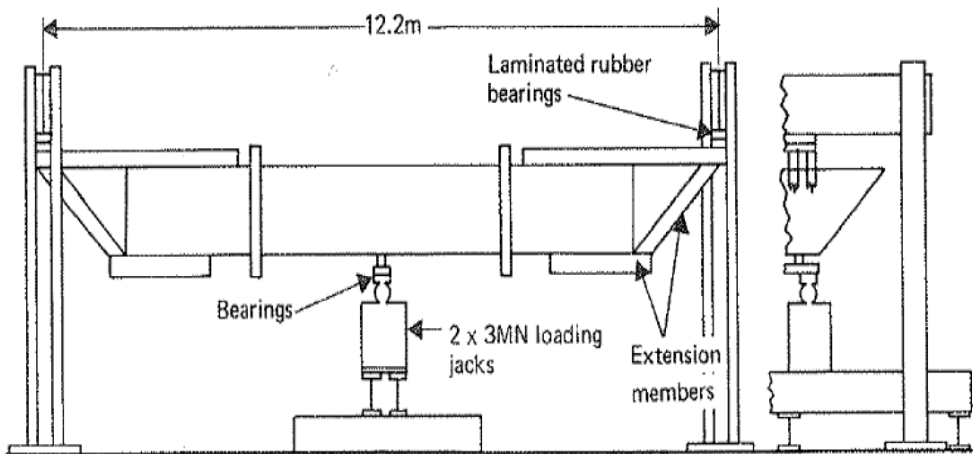
Nominal thickness Component	3 mm (1/8 in)	5 mm (3/16 in)	6 mm (1/4 in)	10 mm (3/8 in)
Diaphragm plates: East West Central	—	—	440 (4, 5.5%) 455 (2, 2.2%)	410 (3, 1.4%)
	—	—	—	—
	—	—	—	—
Diaphragm stiffeners: stub, load bearing, others	—	—	—	385 (2, 1.8%) 400 (2, 0.6%)
Web plates; north east, south east, north west, south west, north central, south central	—	—	—	—
	—	—	480 (2, 2.9%) 380 (2, 0) 475 (2, 2.1%) 450 (2, 1.5%)	—
	—	—	—	—
	350 (2, 7.3%)	—	—	—
	395 (2, 2.2%)	—	—	—
	—	—	—	—
Web stiffeners	—	370 (1, —)	425 (2, 1.1%)	—
Upper flange; plate, longitudinal stiffeners, transverse stiffeners	—	435 (2, 2.7%)	—	—
	—	—	445 (1, —)	—
	—	—	444 (1, —)	—
Lower flange; plate, longitudinal stiffeners, transverse stiffeners	—	—	—	405 (2, 1.0%)
	—	—	415 (1, —)	—
	—	—	444 (1, —)	—

Mean static yield stress,  $\text{Nmm}^{-2}$  (No. of specimens tested; difference between highest and lowest test result as a percentage of the mean)

الشكل (4) قيم إجهاد الخصوص الوسطية لكل مكون من مكونات الصندوق [1]

## 2- إجراء التجربة:

على الديافرام المركزي بواسطة مضختين هيدروليكيتين أسفل نموذج الجسر باستخدام عناصر إضافية و ذلك للحصول على قص و عزم بالنسبة المطلوبة. تم تطبيق الحمل بشكل تدريجي على الديافرام المركزي بواسطة مضختين هيدروليكيتين أسفل الديافرام كل منها قادرة على تطبيق حمل يصل إلى 3000 kN. يوضح الشكل (5) آلية إجراء تجربة الديافرام المركزي.



الشكل (5) تجربة اختبار الديافرام المركزي [4]

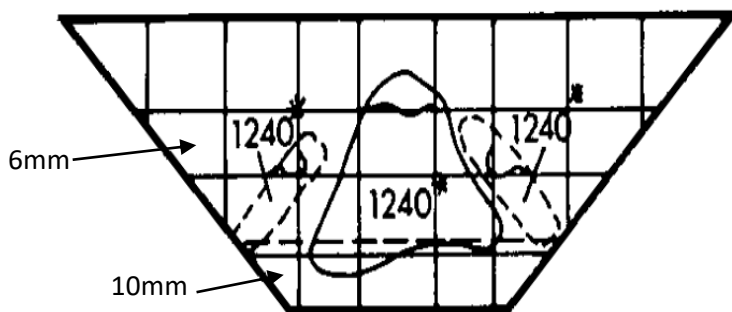
## 3- سلوك الديافرام المركزي:

كلش، حلاق ..... التصميم الأمثل لعناصر التقوية في الديافرامات المسندية شبه المنحرفة في الجسور

صفحة الديافرام ذو سماكة 6mm في المنطقة بين المسند والجسд المجاور. في الوقت ذاته كان الانحناء في المنطقة المركزية يزداد بشكل ملحوظ وأدى ذلك إلى تشوہ الجزء العلوي لصفحة الديافرام ذو السماكة 10mm وحصل الانهيار عند حمل N 1330kN للمسند نتيجة لتطور التحنّب في هذه المناطق.

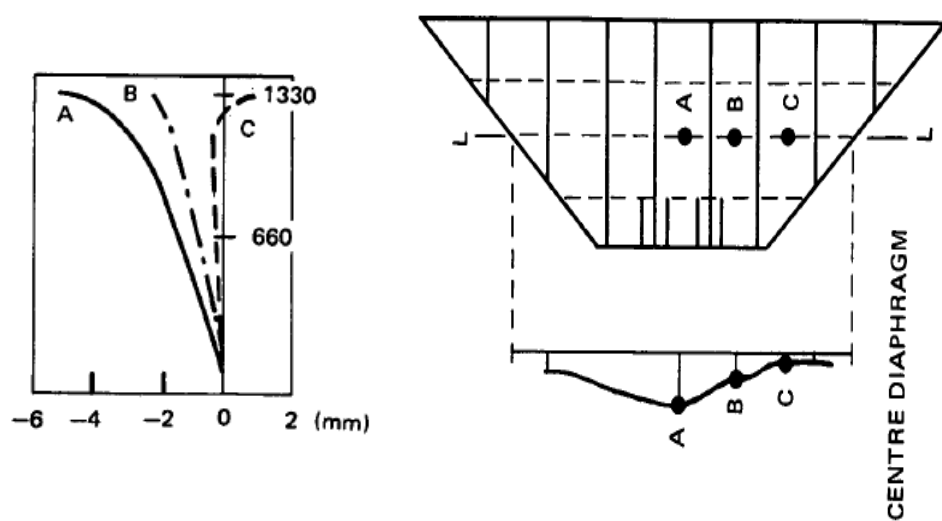
الشكل (6) ..... كل الانهيار

كما ورد في الشكل (2) فإن الديافرام مؤلف من صفية سفلية سماكة 10mm وصفية علوية سماكة 6mm. بدأت المنطقة المركزية للديافرام بالانحناء مع بدء التحميل ثم توسيع الانحناء ليصل إلى المدعّمات الشاقولية. عند الوصول إلى حمل 1120kN للمسند حدث خطأ في نظام التحكم مما أدى إلى إزالة الحمل وإعادة التجربة في اليوم التالي. عند إعادة التحميل والوصول إلى حمل 1200kN للمسند ظهر التحنّب في



الشكل (6) أماكن التحنّب في الديافرام المركزي مع قيم الأحمال التي ظهرت عندها [1]

كما يوضح الشكل (7) الانتقالات خارج المستوى لثلاث نقاط من الديافرام.



الشكل (7) انتقال النقاط A,B,C خارج المستوى وصولاً للانهيار [1]

كلش، حلاق

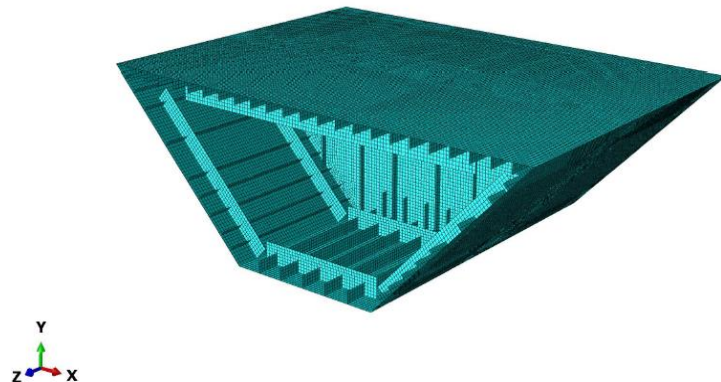
التصميم الأمثل لعناصر التقوية في الديافرامل المساندية شبه المنحرفة في الجسور

### 3-النموذج العددي:

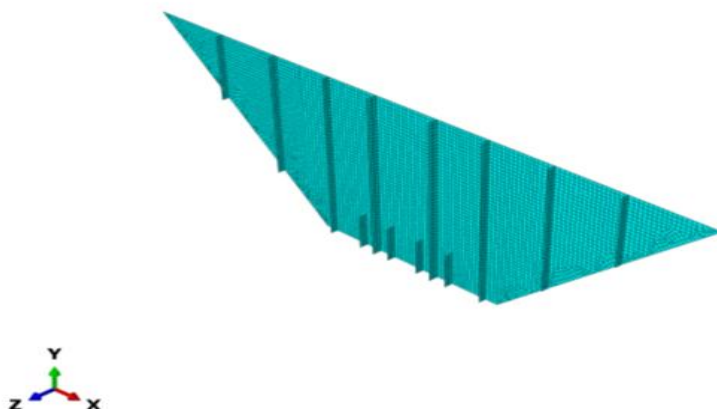
تم اقتراح بناء نموذج عددي ثلاثي البعد ليحاكي و يتوقع سلوك الديافرامل المركزي الشبه المنحرف بالاعتماد على الأبحاث المقدمة من الباحثين Megson & Hallak (8) شكل (9) يوضح الشكل (8) النموذج العددي المقترن والشكل (9) شكل مستطيل الشكل. تم نمذجة جزء من الجائز الصندوقي بمقدار الديافرامل العددي (جهة المدعمات الشاقولية).

Printed using Abaqus/CAE

SIMULIA



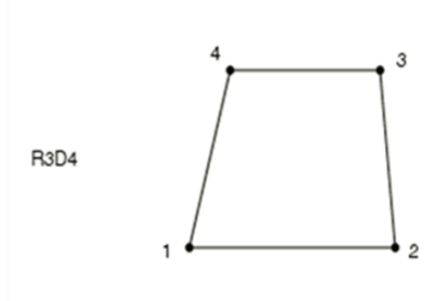
الشكل (8) النموذج العددي المقترن للديافرامل المركزي المختبر



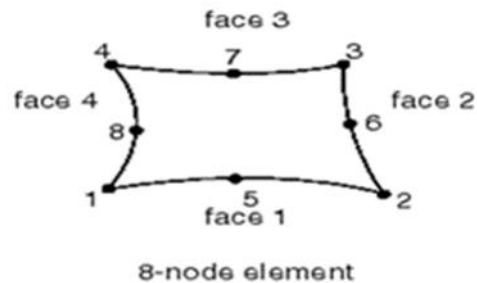
الشكل (9) الديافرامل المركزي في النموذج العددي (جهة المدعمات الشاقولية)

### 3-1 العناصر المستخدمة في النمذجة:

كلش، حلاق ..... التصميم الأمثل لعناصر التقوية في الديايرامات المسنديّة شبه المنحرفة في الجسور (integration)، أما المساند فقد تم نمذجتها باستخدام عنصر مزدوج الانحناء (S8R) ذو ثمانية عقد وستة درجات من الحرية كل عقدة (6) وتكامل مخفض (Reduced D.O.F)



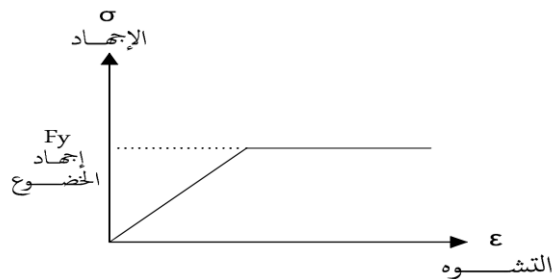
الشكل (11) العنصر الصلد R3D4



الشكل (10) العنصر القشيري S8R

### 3-2 مواصفات المواد في النموذج العددي:

اعتماد القيم الواردة في الشكل (4) مع إهمال التقسيمة. يوضح معامل المرنة  $E=205000 \text{ MPa}$  ، نسبة بواسون  $\mu=0.3$ ، أما قيم إجهاد الخضوع  $F_y$  لكل مكون من مكونات الصندوق فتم الشكل (12) السلوك المعتمد للمادة:



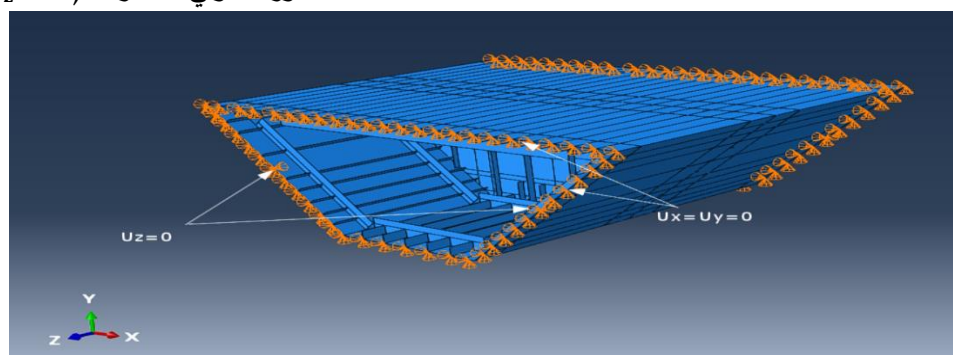
الشكل (12) السلوك المعتمد المادة

### 3-3 الشروط المحيطية (Boundary Conditions) المعتمدة في النموذج العددي:

انتقالات الأجنهة والأجسام عند الأطراف مقيدة بالاتجاهين

أما النقطة في منتصف الأجسام فمقيدة

أيضاً باتجاه المحور الطولي للجسر  $(u_z = 0)$ .



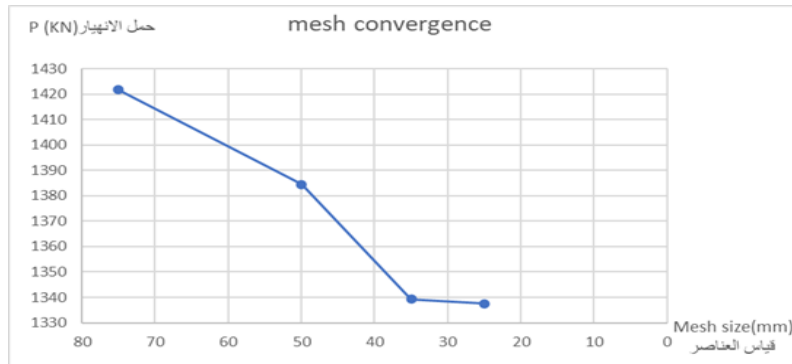
الشكل (13) الشروط المحيطية

كلش، حلاق

التصميم الأمثل لعناصر التقوية في الديافرماط المسندة شبه المنحرفة في الجسور

### 4-3 تحديد التقسيم الأمثل لشبكة العناصر (Optimum Mesh)

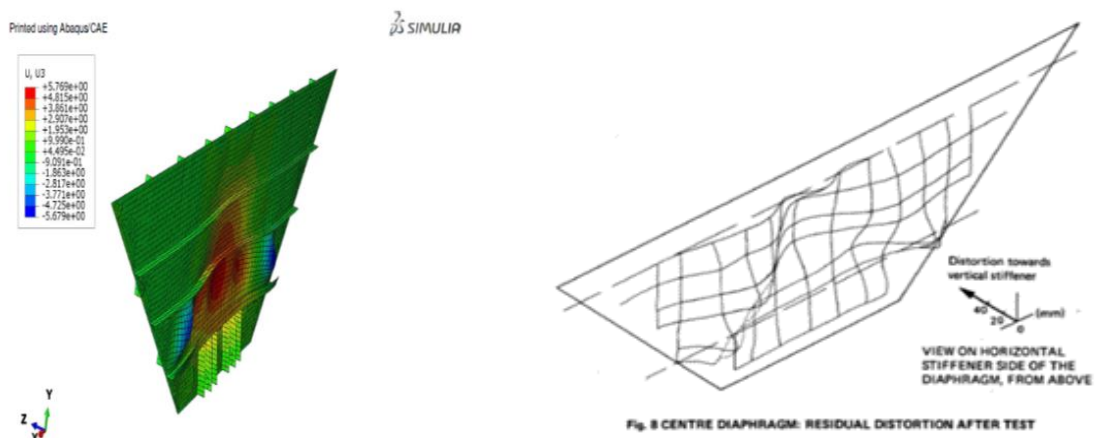
العناصر بعدها. كان الإختلاف في نتائج حمل الانهيار بين تم اختبار عدة قياسات للعناصر (25,35,50,75 mm) وذلك التقسيمتين (25,35) ضئيل بنسبة لا تتعدي 0.14%. سيتم للوصول الى التقسيم الأمثل والذي عنده يصبح التغير في نتائج التحليل (حمل الانهيار، انتقالات،...) ضئيل مهما تغير قياس اعتماد تقسيمة 25mm



الشكل (14) العلاقة بين قياس العناصر و حمل الانهيار

### 4-4 مقارنة سلوك الديافرام المركزي بين التجربة المخبرية و النمذجة العددية:

سلك الديافرام العددي سلوكاً مشابهاً لسلوك الديافرام المركزي المختبر من ناحية شكل التشوه النهائي عند الانهيار ويظهر ذلك من خلال مقارنة الأشكال (15,16).



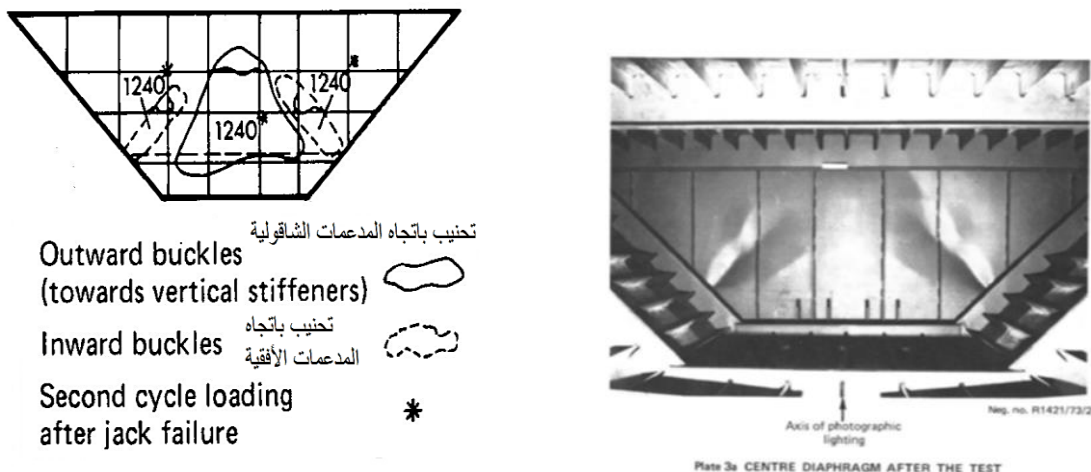
الشكل (16) شكل التشوه للديافرام العددي عند الانهيار

(جهة المدعمات الأفقية) مقاييس مضخم للتشوه باتجاه Z لإبراز التشوه

الشكل (15) تشوهات الديافرام المركزي بعد انتهاء الاختبار [1]

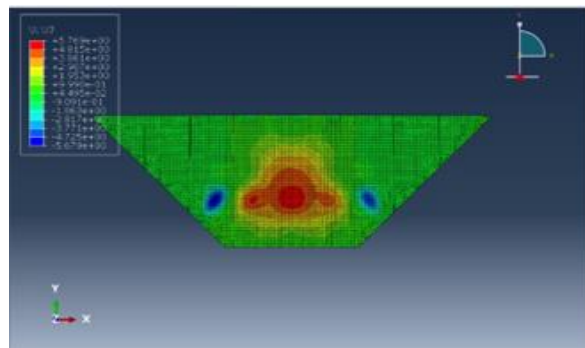
كلش، حلاق

التصميم الأمثل لعناصر التقوية في الديافرماط المسندة شبه المنحرفة في الجسور



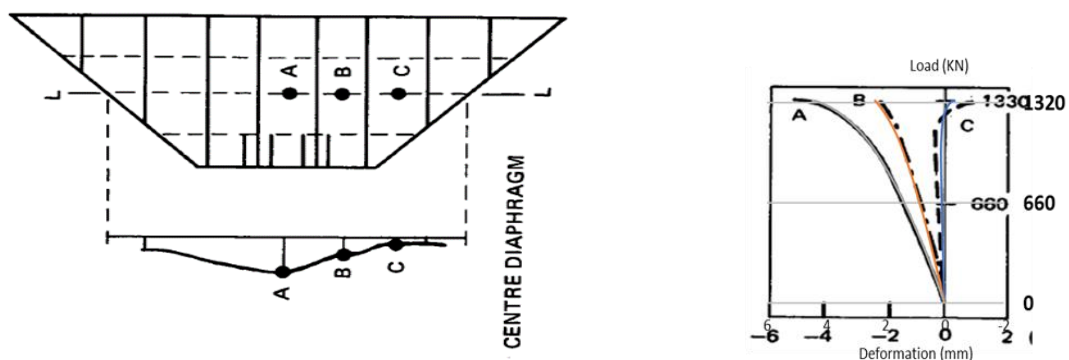
الشكل (18) أماكن و أشكال التشوهات مع قيم الأحمال التي ظهرت عندها لليافرماط المركزي في التجربة [1]

الشكل (17) صورة فوتوغرافية لليافرماط المركزي بعد انتهاء الاختبار [1]



الشكل (19) شكل التشوه عند الانهيار لليافرماط في النموذج العددي

فيما يتعلق بحمل الانهيار فقد انهار الديافرماط العددي عند حمل 1337kN للمسند أي بفارق 0.52% عن حمل الانهيار في التجربة المخبرية والبالغ 1330kN للمسند.



الشكل (20) انتقال النقاط (A,B,C) خارج المستوى وصولاً للانهيار

#### 4-دراسة البارومترية لحالة مسند وحيد في مركز الجائز الصندوقي:

تم إجراء دراسة بارومترية لتحديد تأثير تغيير ترتيب وأبعاد عناصر التقوية على حمل الانهيار ونمطه للديافراملات المركزية شبه المنحرفة. تم نسب جميع الأبعاد لارتفاع الديافرامل الذي يبقى ثابتاً خلال الدراسة البارومترية ومساوياً لارتفاع الديافرامل في التجربة المخبرية ( $D=1200\text{mm}$ ) بالإضافة إلى تثبيت البارومترات التالية:

-نسبة حالة الديافرامل ( $D/t_d$ ): تم اعتماد النسبة 100 وتمثل حالة ديافرام نحيل حيث عند هذه النسبة كان حمل الانهيار متقارب للديافراملات غير المدعمة ذو نسبة  $B/D=1,2,3$ .

-سماكه عناصر التقوية للديافرامل  $t_s=0.01 \times D$

-سماكه الأجسام والأجنحة

-أبعاد وسماكه مدعمات الجسد والأجنحة

-خواص الفولاذ المستخدم:  $E=205000\text{MPa}$ ,  $F_y=355\text{MPa}$ ,

$$\mu=0.3$$

-أبعاد المسند  $J=(0.1 \times 0.1)B$

أما متغيرات الدراسة البارومترية:

1. نسبة عرض الديافرامل إلى ارتفاعه ( $B/D$ ) (Aspect Ratio): تم اختبار 3 نسب وهي:

$$B/D=1,2,3$$

2. أبعاد عناصر التقوية: يشترط الكود البريطاني [8] أن لا

تجاوز نسبة  $L_s/t_s$  (سمك المدعمة:  $t_s$ , عمق المدعمة:  $L_s$ ) القيمة

10 لتجنب حصول تحنيب محلي للمدعمة حيث تم اختبار 4

$$L_s/t_s=2.5,5,7.5,10$$

3. ترتيبات المدعمات: تم اختبار خمس حالات للتدعم:

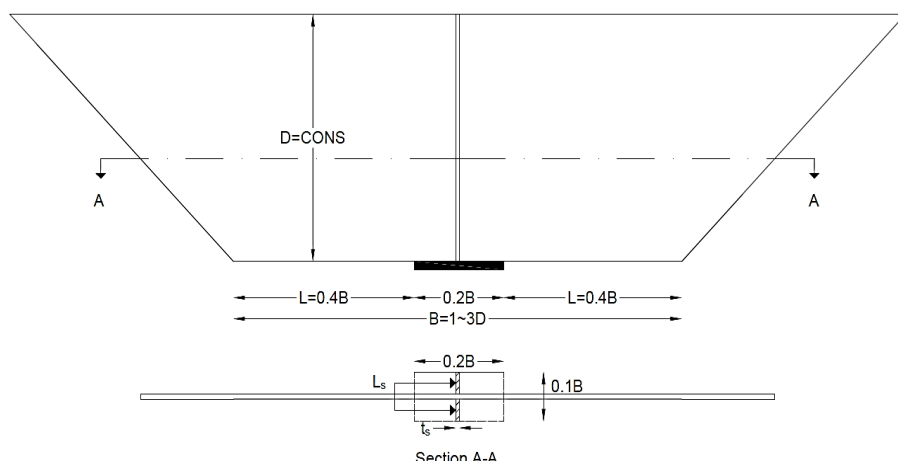
1. مدعمة حاملة للأحمال (LBS) (الشكل 21).

2. مدعمتين حاملتين للأحمال (2LBS) (الشكل 22).

3. مدعمة حاملة للأحمال مع مدعمتين شاقوليتين قصيرتين (1LBS+2STUB) (الشكل 23).

4. مدعمة حاملة للأحمال مع مدعمة أفقية (1LBS+1HOR) (الشكل 24).

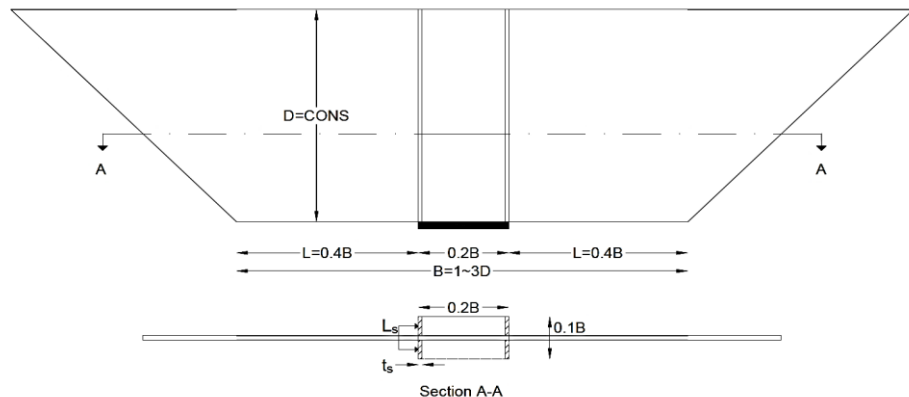
5. مدعمة حاملة للأحمال مع مدعمة شاقولية (1LBS+1VER) (الشكل 25).



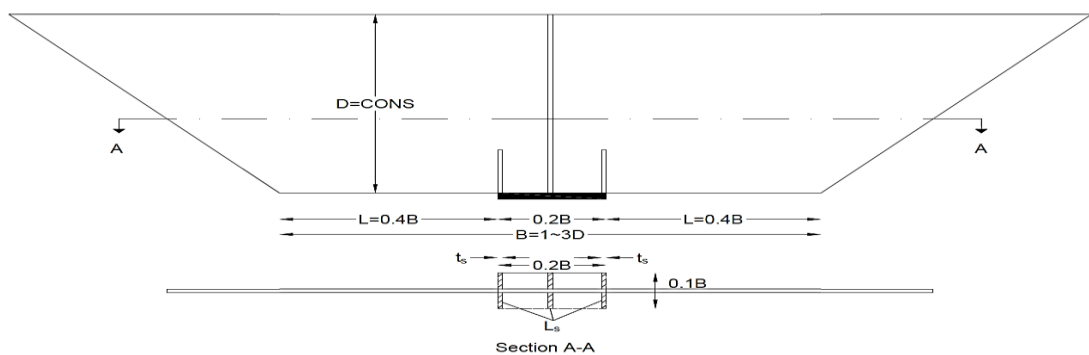
الشكل (21) حالة ديافرام مدعم بمدعمة واحدة حاملة للأحمال (LBS)

كلش، حلاق

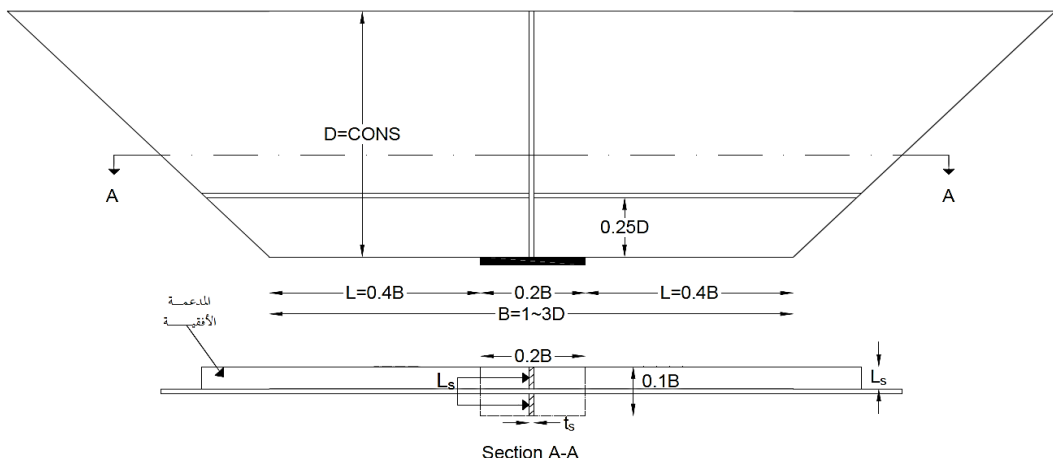
التصميم الأمثل لعناصر التقوية في الديافراغمات المسندية شبه المنحرفة في الجسور



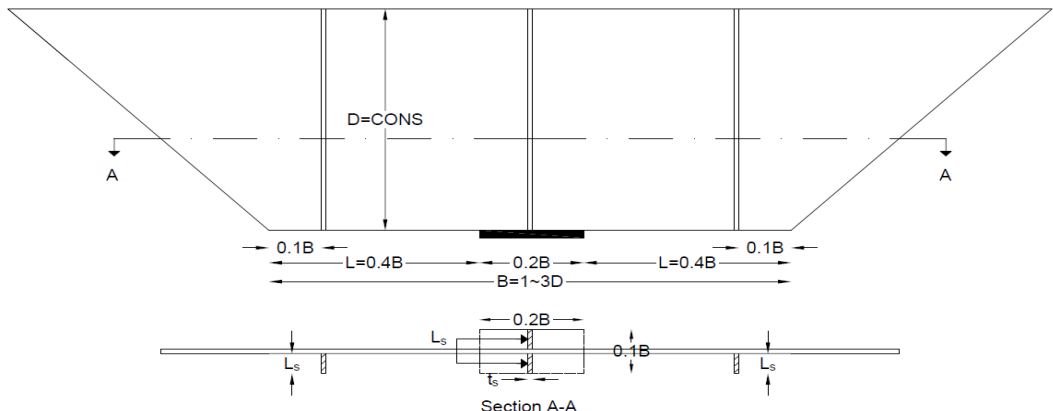
الشكل (22) حالة ديافراط مدعم بمدعنتين حاملتين للأحمال (2LBS)



الشكل (23) حالة ديافراط مدعم بمدمعة حاملة للأحمال مع مدمعات شاقولية قصيرة (1LBS+2STUB)



الشكل (24) حالة ديافراط مدعم بمدمعة حاملة للأحمال مع مدمعة أفقية (1LBS+1HORIZ)

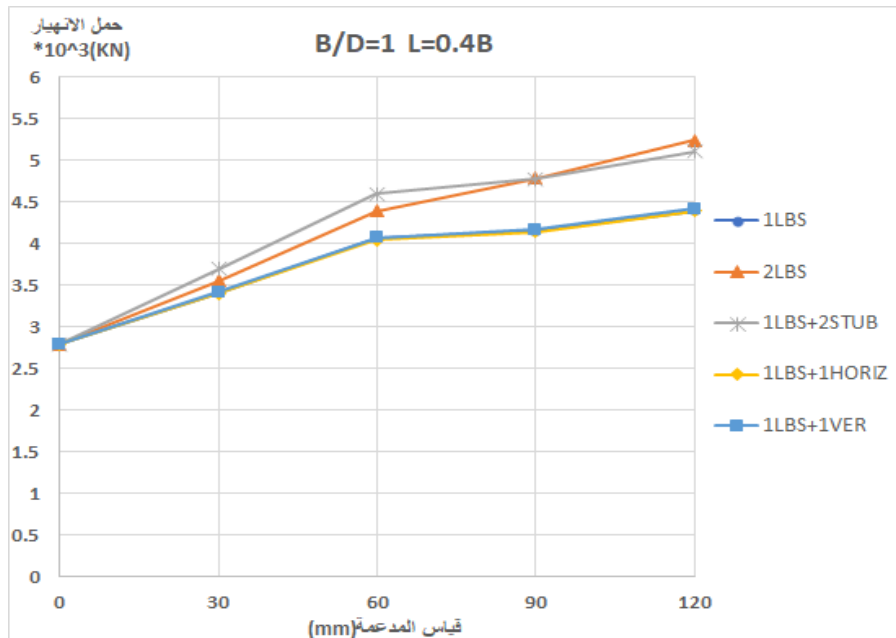


الشكل (25) حالة دياfram مدعم بمدعمة حاملة للأحمال مع مدعمة شاقولية (1LBS+1VER)

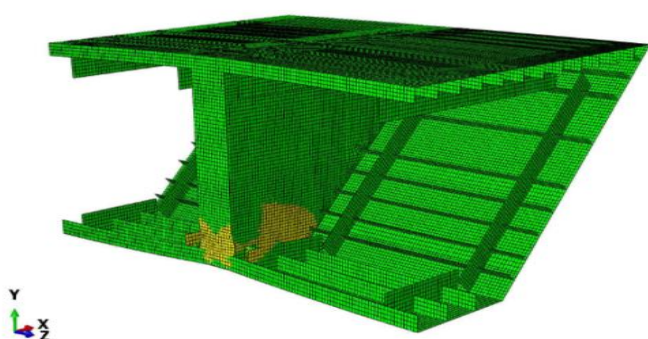
#### 1-4: الديافرام ذو نسبة $B/D=1$

1. استخدام مدعمة حاملة للأحمال (LBS): ازداد حمل الانهيار عند إضافة مدعمة قياس ( $L_s/t_s=2.5$ ) 30mm بمقادير 22.1% وحصل الانهيار نتيجة للتحنيب العام (الديافرام مع المدعمة) مع وجود للتلدن أسفل المدعمة وأسفل الديافرام بين المدعمة والجسد المجاور، وبزيادة قياس المدعمة ازداد حمل الانهيار لتصل نسبة الزيادة إلى 57.14% عند قياس ( $L_s/t_s=10$ ) 120mm للمدعمة (الشكل 26) وحدث الانهيار كنتيجة لانهيار المدعمة الحاملة للأحمال على التلدن مع وجود تلدن في الديافرام بين الجسد والمدعمة (الشكل 27).
2. استخدام مدعمتين حاملتين للأحمال (2LBS): أعطى إضافة مدعمتين حاملتين للأحمال قياس (30mm)  $L_s/t_s=2.5$  زيادة في حمل الانهيار بمقادير 27.3% ونمط الانهيار هو التحنيب العام مع حصول تلدن أسفل المدعمتين وأسفل جزء الديافرام بين المدعمة والجسد المجاور، وبلغت الزيادة 87.6% عند استخدام مدعمتين بقياس ( $L_s/t_s=10$ ) 120mm (الشكل 26) حيث أدى تلدن المدعمتين وجاء الديافرام بين المدعمة والجسد المجاور إلى الانهيار (الشكل 28).
3. استخدام مدعمة حاملة للأحمال مع مدعمتين شاقوليتين تصيرتين (1LBS+2STUB): حصلت زيادة في حمل الانهيار بمقادير 32.3% عند قياس ( $L_s/t_s=2.5$ ) 30mm للمدعمات ونمط الانهيار هو التحنيب العام مع وجود للتلدن أسفل المدعمات وأسفل جزء الديافرام بين المدعمة الشاقولية القصيرة والجسد المجاور. عند زيادة أبعاد المدعمات ازدادت نسبة الزيادة في حمل الانهيار لتصل إلى 82.85% للمدعمات قياس ( $L_s/t_s=10$ ) 120mm (الشكل 26)، وحصل الانهيار بسبب تلدن المدعمة الحاملة للأحمال وجاء الديافرام المحصور بين المدعمة الشاقولية القصيرة والجسد المجاور وظهور للتلدين القصي في الديافرام (الشكل 29).
4. استخدام مدعمة حاملة للأحمال مع مدعمة أفقية (1LBS+1HORIZ): لم يعط إضافة مدعمة أفقية إلى جانب المدعمة الحاملة للأحمال أي زيادة عن تلك المحققة باستخدام المدعمة الحاملة لوحدها (الشكل 26، 30).
5. استخدام مدعمة حاملة للأحمال مع مدعمة شاقولية (1LBS+1VER): لم يعط إضافة مدعمة شاقولية على بعد 0.1B من نقطة التقاء الجسد مع الجناح السفلي أي تأثير

كلش، حلاق ..... التصميم الأمثل لعناصر التقوية في الديايرامات المسندة شبه المنحرفة في الجسور  
 إضافي مقارنة مع استخدام مدعمة حاملة للأحمال لوحدها ..... (اللون الأصفر في النماذج العددية يشير إلى التلدن).  
 (الشكل 26).



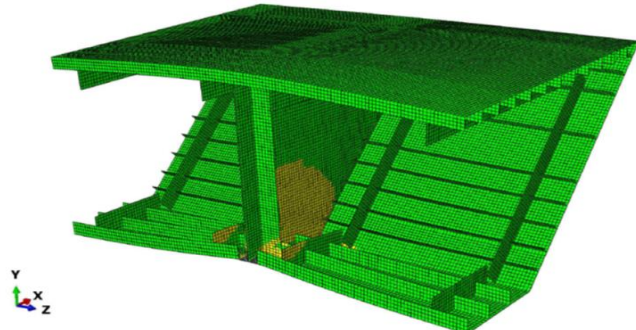
الشكل (26) تغير حمل الانهيار مع تغير قياس نوع المدعمات المستخدمة للديايرام ذو نسبة  $B/D=1$  والمسند يقع على بعد  $(L=0.4B)$



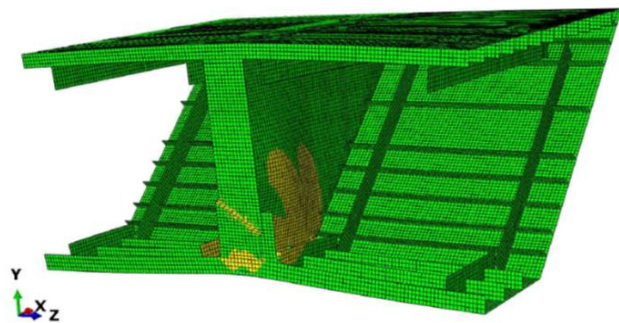
الشكل (27) شكل التشوه عند الانهيار (انهيار على التلدن) للديايرام ذو نسبة  $B/D=1$  و المدعم بمدعة حاملة للأحمال  $120\text{mm}$  (LBS) قياس

كلش، حلاق

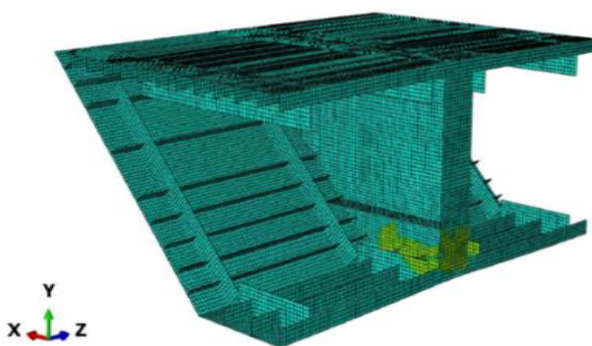
التصميم الأمثل لعناصر التقوية في الديايرامات المسنندة شبه المنحرفة في الجسور



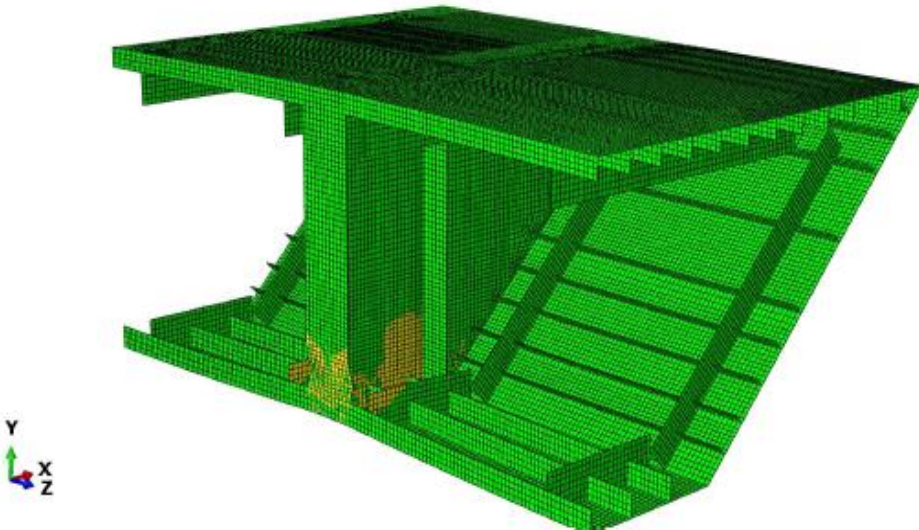
الشكل (28) شكل التشوه عند الانهيار (انهيار على التلدن) للديايرام ذو نسبة  $B/D=1$  والمدعم بدعمين حاملين للأحمال (2LBS) قياس 120mm



الشكل (29) شكل التشوه عند الانهيار (انهيار على التلدن مع التحنيب) للديايرام ذو نسبة  $B/D=1$  والمدعم بدعمة حاملة للأحمال (LBS) ومدعمن شاقولتين قصيرتين (Stub Stiffeners) قياس 120mm.



الشكل (30) شكل التشوه عند الانهيار (انهيار على التلدن) للديايرام ذو نسبة  $B/D=1$  والمدعم بدعمة حاملة للأحمال (LBS) ومدعمة أفقية (Horizontal Stiffeners) قياس 120mm



الشكل (31) شكل التشوه عند الانهيار (انهيار على التلدن) للديافرام ذو نسبة  $B/D=1$  والمدعم بمدعة حاملة للأحمال (LBS) و مدعمة شاقولية (Vertical stiffener) قياس 120mm

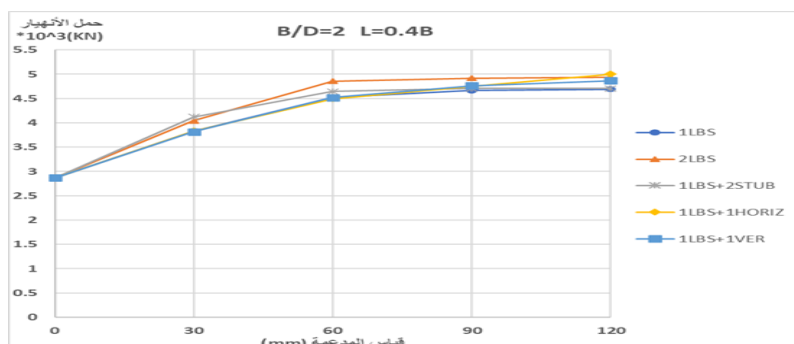
#### 2-4: الديافرام ذو نسبة $B/D=2$

1. استخدام مدعة حاملة للأحمال (LBS): ازداد حمل الانهيار بمقدار 33.58% عند إضافة مدعة قياس ( $L_s/t_s=2.5$ ) ونمط الانهيار هو التخريب العام مع حصول تلدن في جزء الديافرام فوق المسند، وأصبحت هذه الزيادة 62.6% عند قياس ( $L_s/t_s=7.5$ ) و 63.5% لقياس ( $L_s/t_s=10$ ) (الشكل 32) حيث حصل الانهيار بسبب انتشار التلدن أسفل الديافرام بين المدعمة والجسر وجزء محدود من المدعمة متراافقاً مع تخريب قصي للديافرام (الشكل 33).
2. استخدام مدعمنتين حاملتين للأحمال (2LBS): حصلت زيادة في حمل الانهيار بمقدار 41% عند قياس 30mm للمدعمنتين ( $L_s/t_s=2.5$ ) ونمط الانهيار هو التخريب العام (الديافرام مع المدعمنتين) مع تلدن محدود في الديافرام جانب المسند وبالقرب من زاوية الديافرام/الجسر/الجناح وأسفل المدعمنتين، وعند قياس 90mm ( $L_s/t_s=7.5$ ) أصبحت

الزيادة 71.61% بفارق بسيط عن الزيادة المحققة عند قياس 60mm ( $L_s/t_s=5$ ) والتي بلغت 69.3% (الشكل 32). ونمط الانهيار عند قياس (60,90,120mm) هو التخريب القصي لجزء الديافرام بين المدعمة والجسر حيث ظهرت نصفية موجة متراافقاً مع تلدن في الديافرام بين المدعمة والجسر المجاور كما لوحظ وجود تلدن محدود أسفل المدعمة (الشكل 34).

3. استخدام مدعة حاملة للأحمال مع مدعمنتين شاقوليتين قصيرتين (1LBS+2STUB): حصلت زيادة في حمل الانهيار بمقدار 43.78% عند قياس ( $L_s/t_s=2.5$ ) 30mm للمدعمنات ونمط الانهيار هو التخريب العام مع وجود تلدن في الديافرام بمحاذاة المدعمة الشاقولية القصيرة وبالقرب من زاوية الديافرام/الجسر/الجناح ، وبلغت الزيادة 62% عند قياس 60mm ( $L_s/t_s=5$ ) للمدعمنات (الشكل 32) أي بزيادة

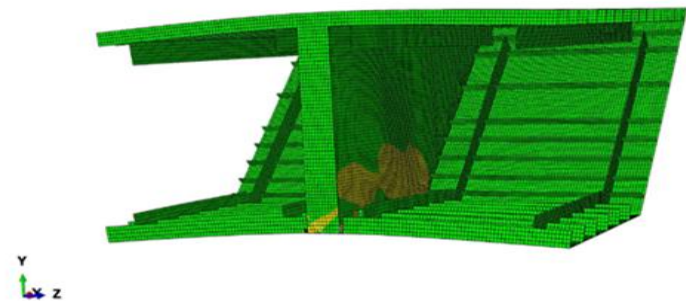
- كلش، حلاق ..... التصميم الأمثل لعناصر التقوية في الديافرامات المسندية شبه المنحرفة في الجسور الانهيار كنتيجة لانتشار التلدن في الديافرام بالإضافة إلى أسفل وقدرها 4% عن تلك المحققـة باستخدام مدعـمة حاملـة لوحـدها قيـاس 60mm وحصل الانهـيار كنتـيـة لـانتـشار التـلـدـنـ في الـديـافـرـامـ بـيـنـ المـدـعـمـةـ الشـاقـولـيـةـ القـصـيرـةـ وـالـجـسـدـ المـجاـوـرـ وـظـهـورـ لـلتـحـبـيبـ لـلـقـصـيـ بـشـكـلـ نـصـفـيـ مـوجـةـ مـتـعـاـكـسـتـيـنـ فـيـ النـصـفـ العـلـوـيـ لـلـدـيـافـرـامـ (ـشـكـلـ 35ـ)،ـ إـنـ اـسـتـخـدـمـ مـدـعـمـاتـ قـيـاسـ 90mm أـعـطـىـ زـيـادـةـ عـلـىـ حـمـلـ الانـهـيـارـ 64.2%ـ،ـ أيـ بـزـيـادـةـ 1.6%ـ عـنـ تـلـكـ المـحـقـقـةـ بـاـسـتـخـدـمـ مـدـعـمـةـ حـامـلـةـ لـوـحـدهـاـ قـيـاسـ 90mmـ.
4. استخدام مدعـمةـ حـامـلـةـ لـلـأـحـمـالـ مـعـ مـدـعـمـةـ أـفـقيـةـ 33.58%ـ (ـ1LBS+1HORIZـ)ـ:ـ اـزـدـادـ حـمـلـ الانـهـيـارـ بـمـقـدـارـ 74.4%ـ عـنـ قـيـاسـ 30mmـ لـلـمـدـعـمـاتـ وـهـيـ نـفـسـ الـزـيـادـةـ الـحـاـصـلـةـ عـنـ اـسـتـخـدـمـ مـدـعـمـةـ حـامـلـةـ لـلـأـحـمـالـ فـقـطـ،ـ وـبـلـغـتـ الـزـيـادـةـ 74.4%ـ عـنـ اـسـتـخـدـمـ المـدـعـمـاتـ قـيـاسـ 120mmـ (ـشـكـلـ 32ـ)،ـ وـحـصـلـ
5. استخدام مدعـمةـ حـامـلـةـ لـلـأـحـمـالـ مـعـ مـدـعـمـةـ شـاقـولـيـةـ (ـ1LBS+1VERـ)ـ:ـ لـمـ يـعـطـ اـسـتـخـدـمـ مـدـعـمـةـ شـاقـولـيـةـ إـلـىـ جـانـبـ المـدـعـمـةـ حـامـلـةـ لـلـأـحـمـالـ بـقـيـاسـ (ـLـsـ/tـsـ=2.5,5ـ)ـ إـلـىـ جـانـبـ المـدـعـمـةـ حـامـلـةـ لـلـأـحـمـالـ بـقـيـاسـ (ـ30,60mmـ)ـ أيـ زـيـادـةـ إـضـافـيـةـ مـقـارـنـةـ مـعـ اـسـتـخـدـمـ مـدـعـمـةـ حـامـلـةـ لـوـحـدهـاـ.ـ وـعـنـدـ اـسـتـخـدـمـ المـدـعـمـتـيـنـ قـيـاسـ 120mmـ (ـLـsـ/tـsـ=10ـ)ـ حـصـلـتـ زـيـادـةـ 69.5%ـ فـيـ حـمـلـ الانـهـيـارـ أيـ بـزـيـادـةـ 6%ـ عـنـ تـلـكـ المـحـقـقـةـ عـنـدـ اـسـتـخـدـمـ مـدـعـمـةـ حـامـلـةـ قـيـاسـ 120mmـ لـوـحـدهـاـ وـنـمـطـ الانـهـيـارـ هـوـ التـحـبـيبـ الـقـصـيـ لـجـزـءـ الـدـيـافـرـامـ بـيـنـ المـدـعـمـتـيـنـ وـتـلـدـنـ فيـ الـدـيـافـرـامـ (ـشـكـلـ 37ـ).



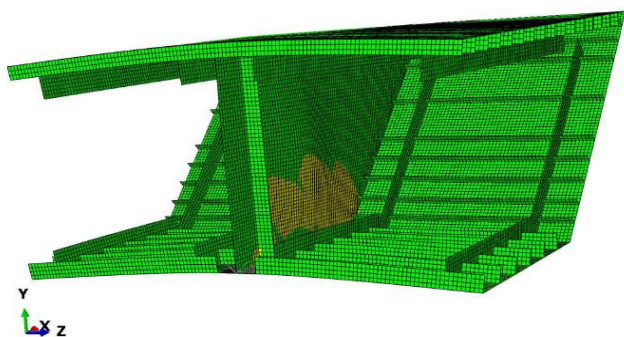
الشكل (32) تغير حـمـلـ الانـهـيـارـ مـعـ تـغـيـرـ قـيـاسـ وـنـوـعـ المـدـعـمـاتـ مـسـتـخـدـمـةـ لـلـدـيـافـرـامـ ذـوـ نـسـبـةـ B/D=2ـ وـالـمـسـنـدـ يـقـعـ عـلـىـ بـعـدـ (ـL=0.4Bـ)

كلش، حلاق

التصميم الأمثل لعناصر التقوية في الديافرماط المسنديّة شبه المنحرفة في الجسور



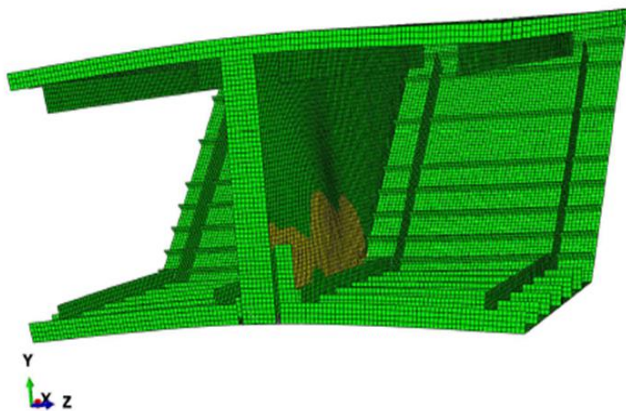
الشكل (33) شكل التشوّه عند الانهيار (انهيار على التلذن مع التحنّب) للديافرّام ذو نسبة  $B/D=2$  والمدعّم بمدعّمة حاملة للأحمال (LBS) قياس 90mm



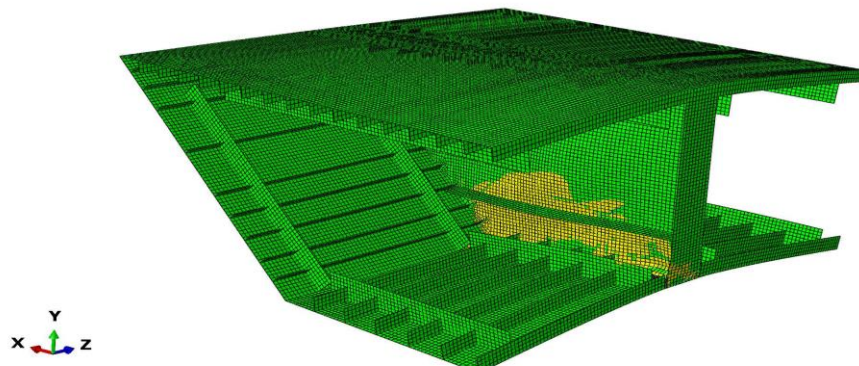
الشكل (34) شكل التشوّه عند الانهيار (انهيار على التلذن مع التحنّب) للديافرّام ذو نسبة  $B/D=2$  والمدعّم بمدعّمتين حاملتين للأحمال (LBS) قياس 90mm

كلش، حلاق

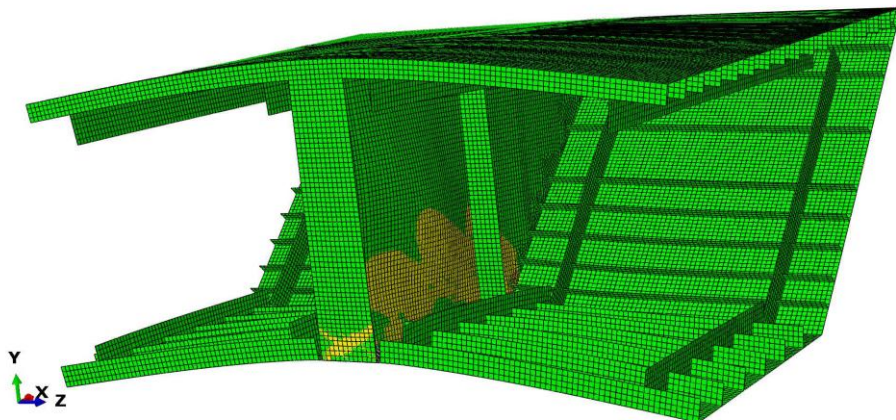
التصميم الأمثل لعناصر التقوية في الديافرماط المسندة شبه المنحرفة في الجسور



الشكل (35) شكل التشوه عند الانهيار (انهيار على التلدن مع التحنّب) للديافرام ذو نسبة  $B/D=2$  والمدعم بمدعمة حاملة للأحمال (LBS) ومدعمن شاقولتين قصيرتين (Stub Stiffeners) قياس .90mm



الشكل (36) شكل التشوه عند الانهيار(انهيار على التلدن مع التحنّب) للديافرام العددي ذو نسبة  $B/D=2$  والمدعم بمدعمة حاملة للأحمال (LBS) ومدعمة أفقية (Horizontal Stiffeners) قياس 120mm



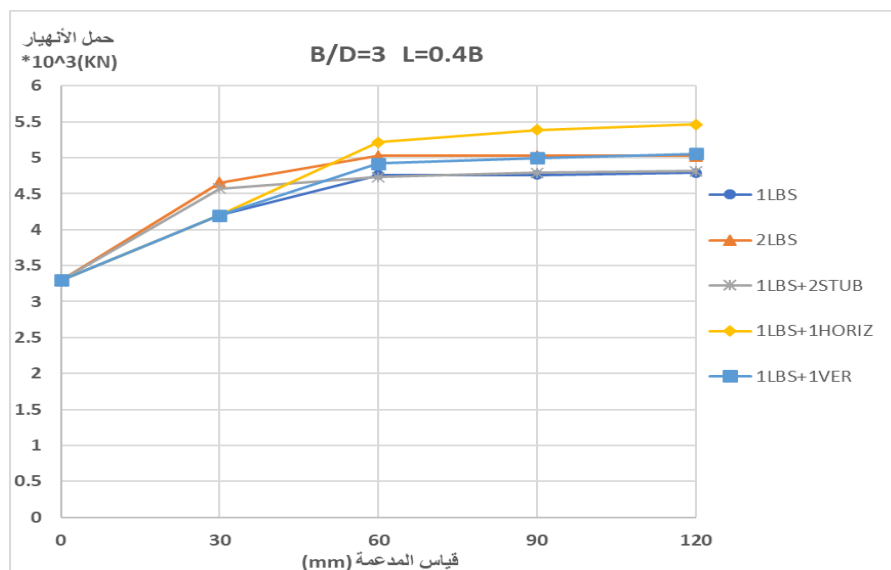
الشكل (37) شكل التشوه عند الانهيار (انهيار على التلدن مع التحنيب) للديافرام ذو نسبة  $B/D=2$  والمدعم بمدعة حاملة للأحمال (LBS) ومدعة شاقولية (Vertical Stiffener) قياس 120mm

#### 4-3: الديافرام ذو نسبة $B/D=3$

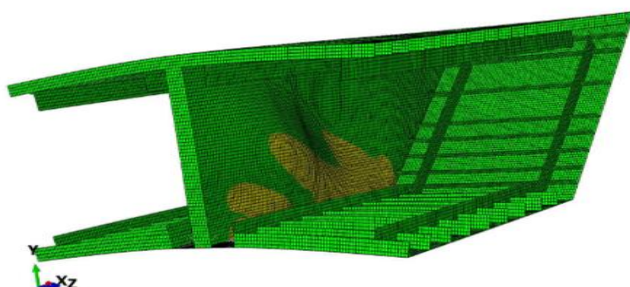
1. استخدام مدعة حاملة للأحمال (LBS): ازداد حمل الانهيار بمقدار 27.5% عند استخدام مدعة قياس 30mm  $L_s/t_s=2.5$  (L) وحصل الانهيار عند هذا القياس نتيجة للتحنيب العام مع تلدن محدود للديافرام بالقرب من المسند وعند زاوية الجسد/الجناح السفلي/الديافرام. بلغت الزيادة مقدار 44.5% عند استخدام قياس 60mm (الشكل 38). إن استخدام مدعة انتشار للتلدن في الديافرام (الشكل 39). إن استخدام مدعة بقياس أكبر من 60mm (تكافئ نسبة  $L_s/t_s=5$ ) لم يعط أي إضافة على حمل الانهيار.
2. استخدام مدعتين حاملتين للأحمال (2LBS): ازداد حمل الانهيار بمقدار 41.24% عند استخدام المدعتين بقياس 30mm  $L_s/t_s=2.5$  ونمط الانهيار هو التحنيب العام وحصول تلدن محدود للديافرام في المناطق المجاورة للمسند وعند زاوية الجسد/الجناح السفلي/الديافرام ، وبلغت الزيادة حد أعلى 52.54% عند قياس 60mm للمدعتين (الشكل 38). ونمط الانهيار مشابه لحالة مدعة حاملة لوحدها (الشكل 40). إن استخدام مدعتين بقياس أكبر من 60mm لم يعط إضافة حمل الانهيار مقارنة مع قياس 60mm.
3. استخدام مدعة حاملة للأحمال مع مدعتين شاقوليتين قصيرتين (1LBS+2STUB): أعطى استخدام مدعتات قياس 30mm  $L_s/t_s=2.5$  (L) زيادة على حمل الانهيار وقدرها 38.82% أي بزيادة 11.32% عن تلك المقابلة لاستخدام مدعة حاملة لوحدها، في حين لم يعط استخدام مدعتات بقياس أكبر من 30mm أي زيادة مقارنة مع استخدام مدعة حاملة لوحدها (الشكل 38) ونمط الانهيار هو التحنيب القصي للديافرام مع تلدن في الديافرام بين المدعمة الشاقولية القصيرة والجسد المجاور (الشكل 41).
4. استخدام حاملة للأحمال مع مدعة أفقية (1LBS+1HORIZ): حصلت زيادة في حمل الانهيار قدرها 27.52% عند استخدام مدعتات قياس 30mm وهي نفس الزيادة المحققة باستخدام المدعة الحاملة للأحمال لوحدها ونمط الانهيار هو التحنيب العام مع وجود للتلدن في جزء الديافرام عند زاوية الجسد/الجناح السفلي/الديافرام و بجوار المسند. بلغت الزيادة 65.77% عند استخدام مدعتات قياس 120mm (الشكل 38)، أي بفارق 21.27% عن الزيادة المحققة عند استخدام مدعة حاملة للأحمال لوحدها. حصل الانهيار

كلش، حلاق ..... التصميم الأمثل لعناصر التقوية في الديافرامات المسندة شبه المنحرفة في الجسور  
 بزيادة 4.81% عن الزيادة المحققة باستخدام مدعمة حاملة نتاجة لانتشار التلدن في جزء واسع من الديافرام متزامناً مع تحنيب قصي للديافرام والمدعمة الأفقية (الشكل 42).  
 5. استخدام مدعمة حاملة للأحمال مع مدعمة شاقولية (1LBS+1VER): لم يعط استخدام المدعمتين قياس (L<sub>s</sub>/t<sub>s</sub>=2.5) 30mm أي زيادة مقارنة مع استخدام مدعمة حاملة لوحدها، في حين زاد حمل الانهيار عند استخدام مدعمتين بقياس 60mm (L<sub>s</sub>/t<sub>s</sub>=5) بمقدار 49.31% أي

لوحدتها. بلغت نسبة الزيادة 53.34% عند استخدام مدعمتين قياس (L<sub>s</sub>/t<sub>s</sub>=10) 120mm (الشكل 38) أي بزيادة وقدرها 8.84% عن الزيادة المحققة باستخدام مدعمة حاملة قياس 120mm لوحدها ونمط الانهيار هو التحنيب القصي مع تلدن الديافرام بين المدعمة الحاملة والجسر (الشكل 43).



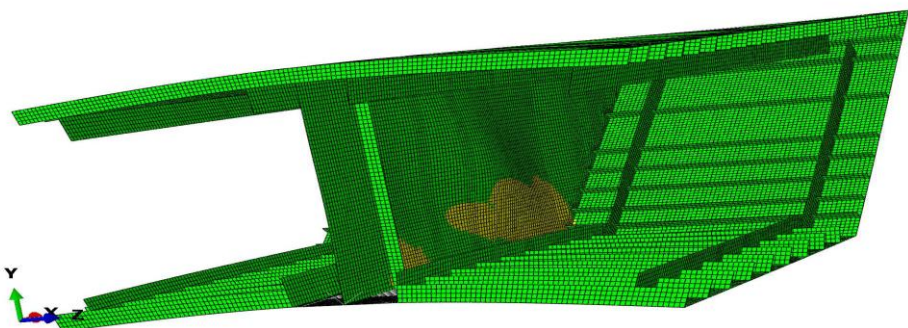
الشكل (38) تغير حمل الانهيار مع تغير قياس نوع المدعمات المستخدمة للديافرام ذو نسبة  $B/D=3$  والمسنن يقع على بعد  $(L=0.4B)$



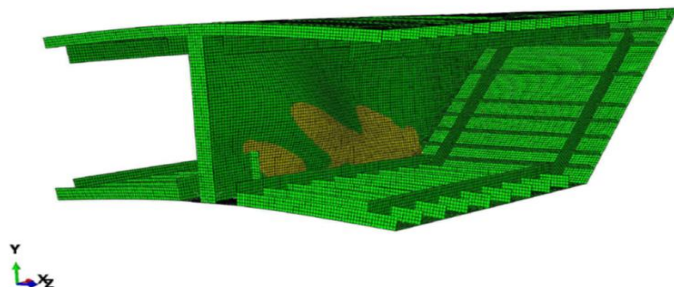
الشكل (39) شكل التشوه عند الانهيار (انهيار على التلدن مع التحنيب) للديافرام ذو نسبة  $B/D=3$  والمدعمن بمدعمة حاملة للأحمال قياس 60mm

كلش، حلاق

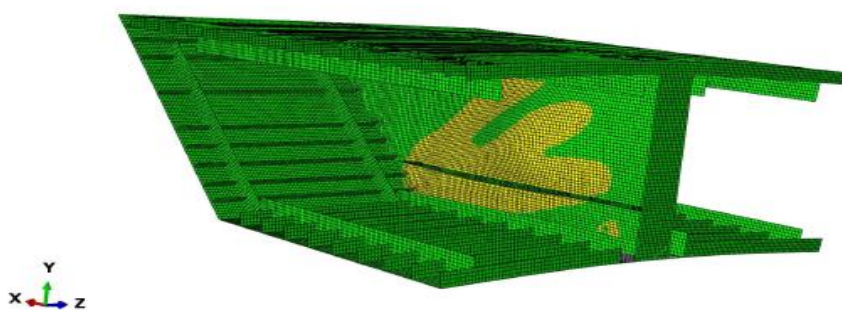
التصميم الأمثل لعناصر التقوية في الديافرماط المسندة شبه المنحرفة في الجسور



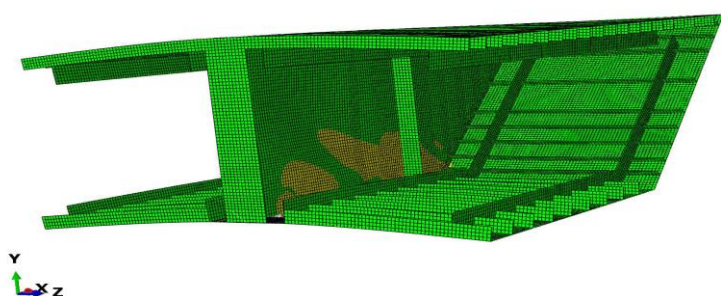
الشكل (40) شكل التشوہ عند الانهیار (انهیار علی التلنن مع التحنیب) للدیافرام ذو نسبۃ  $B/D=3$  والمدعם بمدعمنین حاملین للأحمال (LBS) قیاس 60mm



الشكل (41) شکل التشوہ عند الانهیار (انهیار علی التلنن مع التحنیب) للدیافرام ذو نسبۃ  $B/D=3$  والمدعם بمدعمة حاملة للأحمال (LBS) ومدعمنین شاقولتین قصیرتین (Stub Stiffeners) قیاس 90mm



الشكل (42) شکل التشوہ عند الانهیار (انهیار علی التلنن مع التحنیب) للدیافرام ذو نسبۃ  $B/D=3$  والمدعם بمدعمة حاملة للأحمال (LBS) ومدعمة افقیة (Horizontal Stiffeners) قیاس 120mm



الشكل (43) شكل التشوه عند الانهيار (انهيار على التلدن مع التحنّب) للديافرام ذو نسبة  $B/D=3$  والمدعم بمدمرة حاملة للأحمال (Vertical Stiffener) ومدمرة شاقولية (LBS) قياس 120mm

## 5- النتائج:

عند استخدام مسند وحيد في المنتصف ( $L=0.4B$ ) فإن أكبر زيادة في حمل الانهيار للديافرام ذو نسبة  $B/D=1$  كانت عند استخدام مدعتين حاملتين للأحمال قياس ( $10 \times t_s$ ) بنسبة بلغت 87.6%， أما الديافرام ذو نسبة  $B/D=2\&3$  فإن أكبر زيادة في حمل الانهيار حصلت عند استخدام مدمرة حاملة للأحمال مع مدمرة أفقية قياس ( $t_s \times 10$ ) متوضعة على ارتفاع  $D \times 0.25$  من الجناح السفلي حيث بلغت نسبة الزيادة 74.4% للديافرام ذو نسبة  $B/D=2$  و 65.77% للديافرام ذو نسبة  $B/D=3$ ، وبذلك يكون استخدام مدعتين حاملتين للأحمال قياس ( $10 \times t_s$ ) هي القيمة المثلثى لقوى الديافرام ذو نسبة  $B/D=1$  و استخدام مدمرة حاملة للأحمال مع مدمرة أفقية قياس ( $t_s \times 10$ ) متوضعة على ارتفاع  $D \times 0.25$  هي القيمة المثلثى لقوى الديافرام ذو نسبة ( $B/D=2\&3$ ) عند استخدام مسند وحيد في المنتصف ( $L=0.4B$ ).

**التمويل:** هذا البحث ممول من جامعة دمشق وفق رقم التمويل (501100020595).

## References

1. Irwin, C. A. K. and Loe, J. A., "Loading Tests on the Stiffened Diaphragms of a Trapezoidal Steel Box Girder", TRRL Report LR 824, Crowtherne, 1978.
2. Hallak, Ghayath. "Optimum Design of Box Girder Diaphragms", Scholar's press, 2016.
3. O.A. Kerensky, "Conception". Paper 1, Steel Box Girder Bridges. Proc of the Int Conf organized by the inst. Of Civ.Engrs.in London ,13-14 Feb 1973, Thomas Telford Ltd, London 1973.
4. P.J. Dowling, J.A. Loe and J. A. Dean, "The behavior up to collapse of load bearing Diaphragms in rectangular and trapezoidal stiffened steel box girders", Paper 7, Steel Box Girder Bridges. Proc of the Int Conf organized by the inst. Of Civ.Engrs.in London ,13-14 Feb 1973, Thomas Telford Ltd, London 1973.
5. Megson, T. H. G. & Hallak, G., "Optimum Design of Load-Bearing Box Girder Diaphragms Having Supports at a Distance From the Flange/Web Junctions", Thin-Walled Structures, 22 (1995) 275-289.
6. Megson, T. H. G. & Hallak, G., "Optimum Design of Load-Bearing Box Girder Diaphragms Having a Central Support", Thin-Walled Structures, 22 (1995) 205-215.
7. Megson, T. H. G. & Hallak, G., "Optimum Design of Load-Bearing Box Girder Diaphragms Having Supports at the Flange/Web Junctions", Thin-Walled Structures, 22 (1995) 49-59.
8. BS5400:Part3: 2000. Code of practice for the design of steel bridges.